

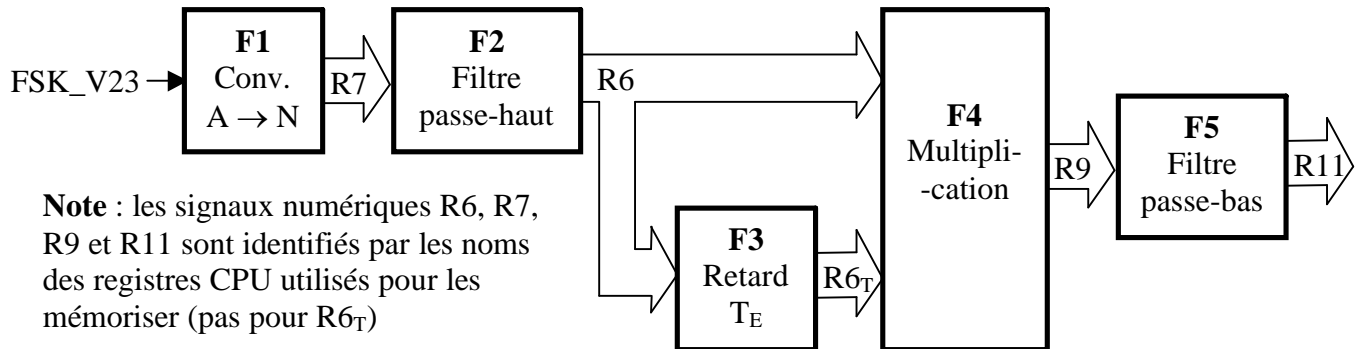
CLIP V1 & V2

Démodulation FSK V23 numérique sur MSP430

Cette étude est basée sur le document SLAA037.PDF disponible sur le site de Texas Instruments : ti.com.

1. Schéma fonctionnel

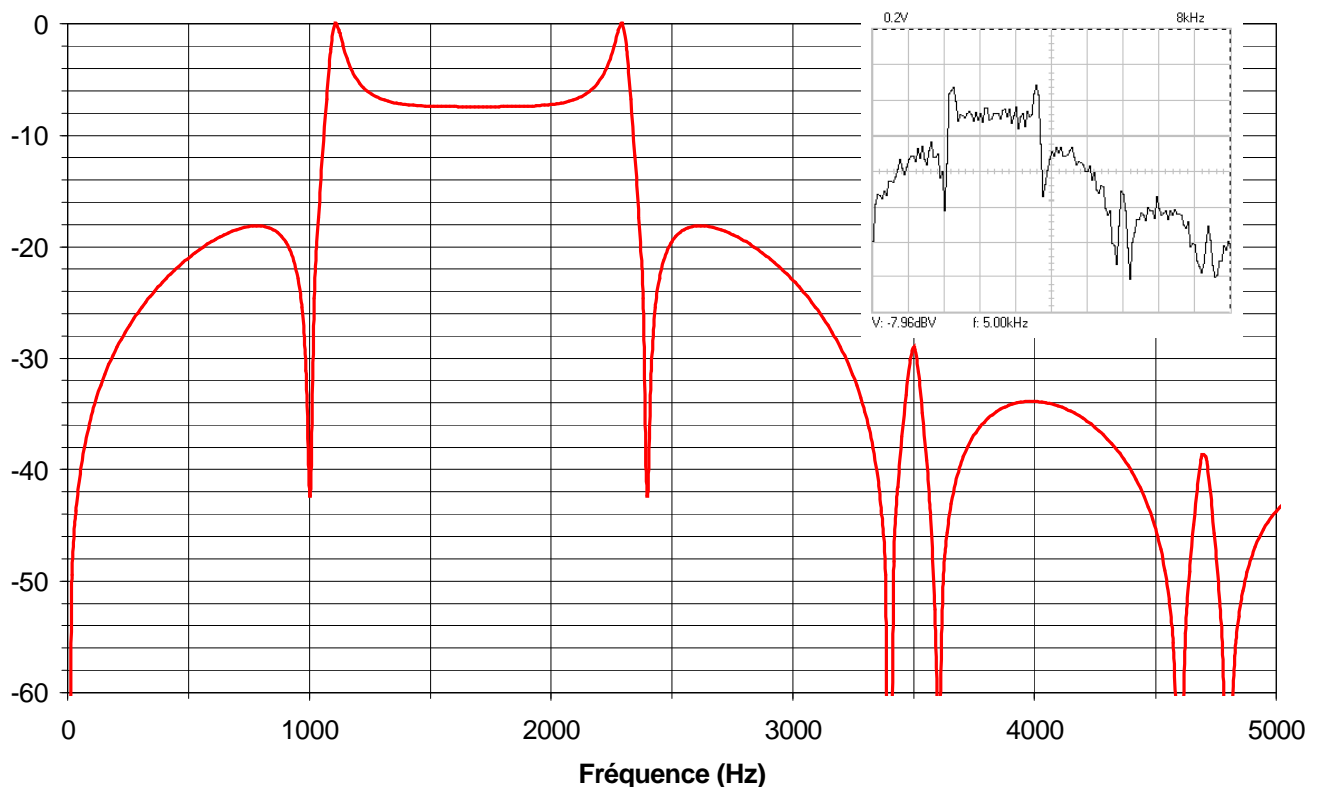
On utilise ici un procédé proche de la démodulation de fréquence en quadrature utilisé couramment en analogique. La fonction "déphasage" devient ici une fonction "retard".



Le signal FSK_V23 est le signal analogique modulé à traiter. Il est conforme aux recommandations V23, c'est à dire :

- Fréquence centrale : $F_0 = 1700$ Hz
- Fréquence basse $F_Z = 1300$ Hz
- Fréquence haute $F_A = 2100$ Hz
- Rapidité de modulation : 1200 bauds

Le spectre relatif d'un signal FSK de ce type modulé par une séquence pseudo-aléatoire est le suivant :



On a inséré, en haut à droite, un relevé expérimental.

Toutes les fonctions sont numériques, à l'exception de la fonction mixte F1. Les calculs sont effectués par un programme d'interruption au rythme de la **fréquence d'échantillonnage $F_E = 6800$ Hz**.

Cette fréquence relativement basse a été choisie pour respecter les critères suivants :

- Règle de Shannon : $F_E > 2 F_{in \max}$. Le spectre du signal FSK montre des composantes non négligeables au-delà de 3400 Hz ($F_E/2$). Un filtrage analogique préalable (avant la conversion A/N) est donc nécessaire.
- Le microcontrôleur n'est pas un DSP. Il doit être capable de réaliser tous les calculs à chaque échantillon.
- Faciliter la réalisation de la fonction F3 "retard de $T_E = 1/F_E$ "

1.1 F1 : conversion A → N

On utilise la technique du "simple rampe". La partie logicielle est réduite par l'utilisation des fonctions "Timer" intégrées dans chaque MSP430.

Le résultat est codé sur 16 bits en code complément à 2 et placé dans le registre R7 du CPU (voir §2).

$$R7 = K_{AN} \frac{V_{FSK_V23} - V_{OFFSET}}{V_{REF}}$$

$K_{AN} = 32768$

V_{OFFSET} : constante représentant une tension de décalage

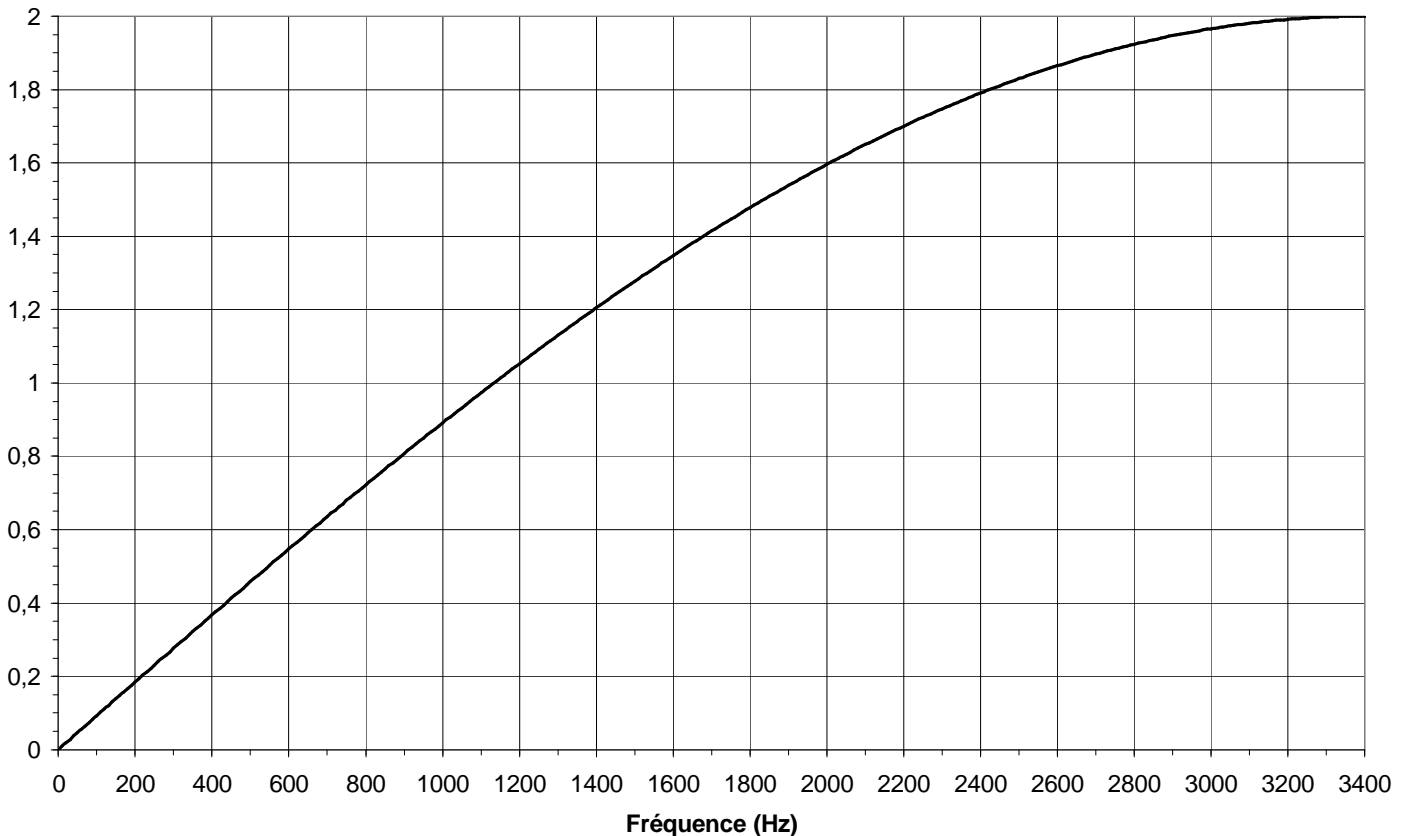
V_{REF} : tension de référence. Dépend de la pente de la rampe et de la fréquence d'horloge

1.2 F2 : Filtre passe-haut

En fait, son action principale est d'éliminer la composante continue de R7 et de rendre ainsi la fonction démodulation relativement insensible à la tension moyenne du signal FSK_V23.

Transformée en Z de la fonction de transfert : $\frac{R6(z)}{R7(z)} = 1 - Z^{-1}$

La réponse en fréquence théorique est la suivante (limitée à $F_E/2$):



1.3 F3 : Retard T_E

Cette fonction reproduit sur $R6_T$ le signal numérique $R6$ retardé d'une période d'échantillonnage.

$$R6_T = R6 \times Z^{-1}$$

Le module de sa transmittance est toujours égal à 1.

1.4 F4 : Multiplication

Cette fonction réalise, comme son nom l'indique : $R9 = R6 \times R6_T$

Les signaux $R9$, comme $R6$ et $R6_T$, sont codés en C2 sur 16 bits. Les valeurs de $R6$ et $R6_T$ doivent rester suffisamment faibles pour éviter les dépassements.

La valeur moyenne de $R9$ contient l'information "déviations de fréquence", c'est à dire le résultat de la démodulation de fréquence.

En effet :

- On admet pour simplifier que $R6$ est un signal analogique sinusoïdal modulé en fréquence autour de F_0 :

$$R6 = E \times \cos(2 \times \pi \times (F_0 + dF) \times t) \quad dF \text{ étant la déviation de fréquence par rapport à } F_p (\pm 400 \text{ Hz})$$

- On en déduit : $R6_T = E \times \cos(2 \times \pi \times (F_0 + dF) \times (t - T_E))$ avec $T_E = \frac{1}{F_E} = \frac{1}{6800} = 147 \mu\text{S} = \text{cste}$

- Or $F_E = 4 \times F_0$. Il en résulte : $R6_T = E \times \cos\left(2 \times \pi \times (F_0 + dF) \times t - \frac{\pi}{2} - \frac{\pi}{2} \times \frac{dF}{F_0}\right)$

- La fonction F4 produit alors le signal :

$$R9 = R6 \times R6_T = E^2 \times \cos(2 \times \pi \times (F_0 + dF) \times t) \times \cos\left(2 \times \pi \times (F_0 + dF) \times t - \frac{\pi}{2} - \frac{\pi}{2} \times \frac{dF}{F_0}\right)$$

$$R9 = \frac{E^2}{2} \left[\cos\left(4 \times \pi \times (F_0 + dF) \times t - \frac{\pi}{2} - \frac{\pi}{2} \times \frac{dF}{F_0}\right) + \cos\left(\frac{\pi}{2} + \frac{\pi}{2} \times \frac{dF}{F_0}\right) \right]$$

$$R9 = \frac{E^2}{2} \left[\cos\left(4 \times \pi \times (F_0 + dF) \times t - \frac{\pi}{2} - \frac{\pi}{2} \times \frac{dF}{F_0}\right) - \sin\left(\frac{\pi}{2} \times \frac{dF}{F_0}\right) \right]$$

Composante de fréquence $2 \times F_0$ (3400Hz) environ
Éliminée par le filtre passe-bas F5

Composante utile
Passe au travers du filtre F5 car de fréquence
600Hz (1200 bauds)

1.5 F5 : filtre passe-bas

Sa tâche est d'éliminer la composante de $R9$ de fréquence $2 \times F_0$, tout en laissant passer la composante utile (le signal modulant). Voir le § ci-dessus.

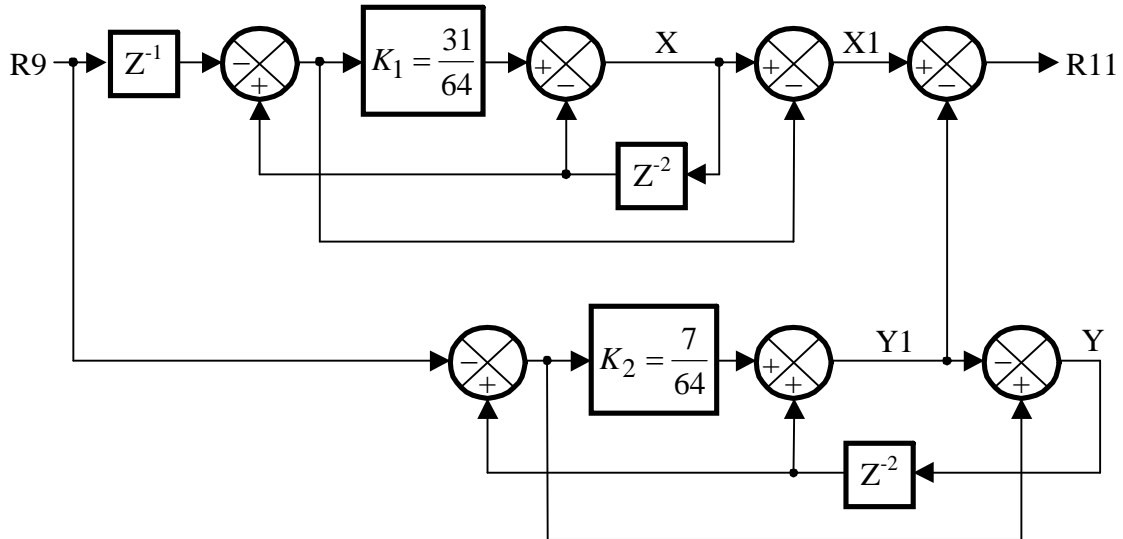
Dans cette application, le signal modulant est binaire de rapidité 1200 bauds. Le signal $R9$ doit donc permettre de produire un signal binaire RXD suffisamment fidèle pour être traité par la fonction "réception série asynchrone".

Le filtre F5 est du type IIR et utilise la technique des "ondelettes". Ce type de filtre est stable et est peu sensible à la tolérance des coefficients. Cela a permis d'éviter toute opération de multiplication et ainsi réduire considérablement le temps de calcul (le MSP430 n'est pas un DSP).

Caractéristiques du filtre :

- Type Butterworth d'ordre 5
- Bande passante à -1dB : 1400Hz
- Ondulations dans la bande passante : $< 1\text{dB}$
- Bande coupée à -40dB : 2800Hz

Schéma opérationnel :



Fonctions de transfert :

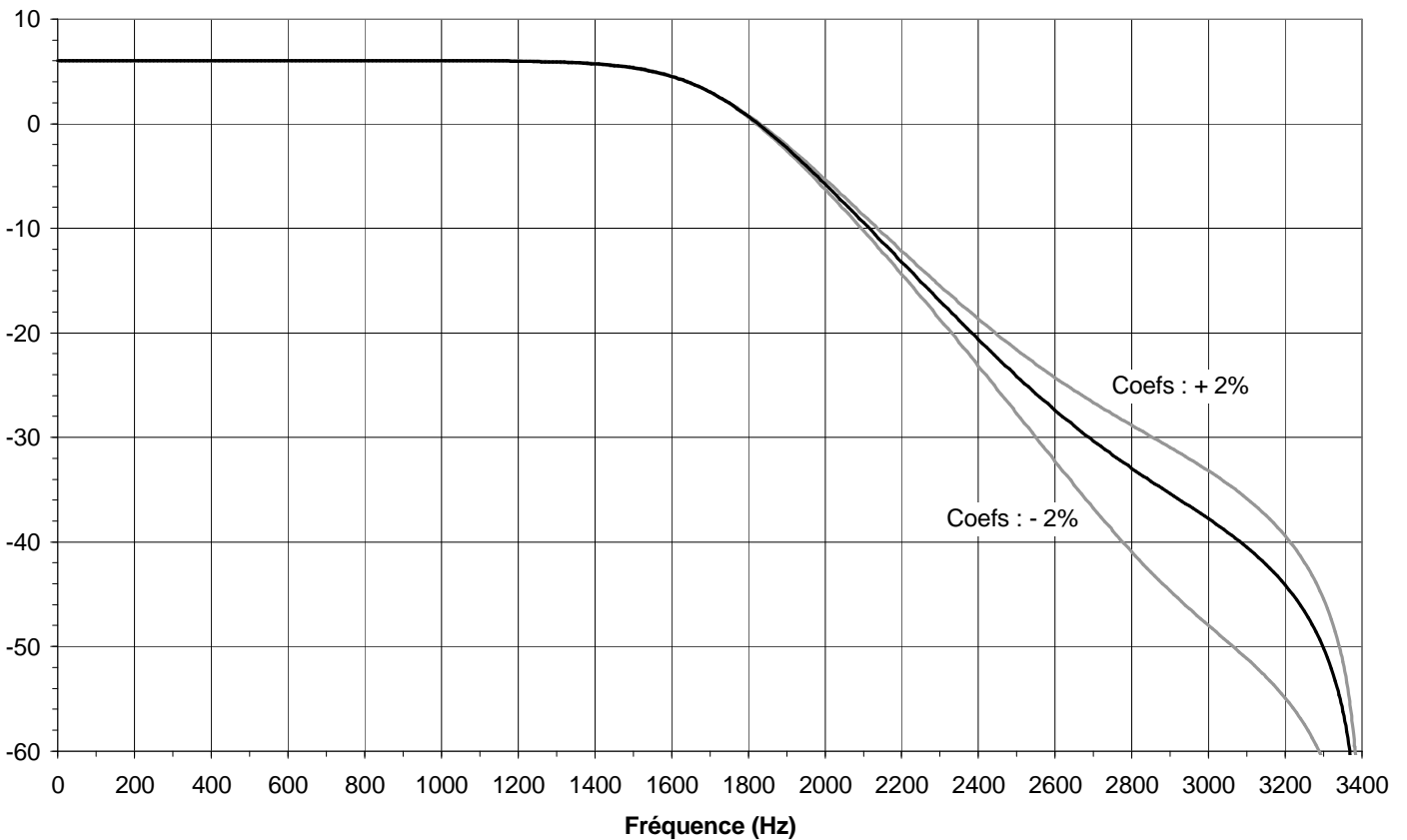
$$\frac{X(z)}{R9(z)} = \frac{K_1 \times Z^{-1}}{(K_1 - 1) \times Z^{-2} - 1} \quad \frac{Y(z)}{R9(z)} = \frac{K_2 - 1}{K_2 \times Z^{-2} + 1} \quad \frac{Y1(z)}{R9(z)} = -\frac{Z^{-2} + K_2}{K_2 \times Z^{-2} + 1}$$

$$\frac{X1(z)}{R9(z)} = \frac{Z^{-1} \times (K_1 - 1 - Z^{-2})}{Z^{-2} \times (K_1 - 1) - 1}$$

Et finalement : $\frac{R11(z)}{R9(z)} = X1 - Y1 = \frac{Z^{-1} \times (K_1 - 1 - Z^{-2})}{Z^{-2} \times (K_1 - 1) - 1} + \frac{K_2 + Z^{-2}}{K_2 \times Z^{-2} + 1}$

Simulation :

Cette fonction de transfert peut être simulée avec Excel en remplaçant Z par $e^{j\omega} = e^{j2\pi \times f}$



Les 2 courbes en grisés permettent d'évaluer l'influence d'un écart sur les coefficients K1 et K2. Une réduction de 2% par rapport à leurs valeurs nominales donne des meilleurs résultats, mais le programme nécessiterait alors des multiplications et ne serait plus traité suffisamment rapidement.

Note : Production de RXD à partir de R11 :

Le signal numérique R11 étant codé en complément à 2 sur 16 bits, le signal RXD est simplement égal à l'opposé de son bit de signe (comparaison au passage par zéro).

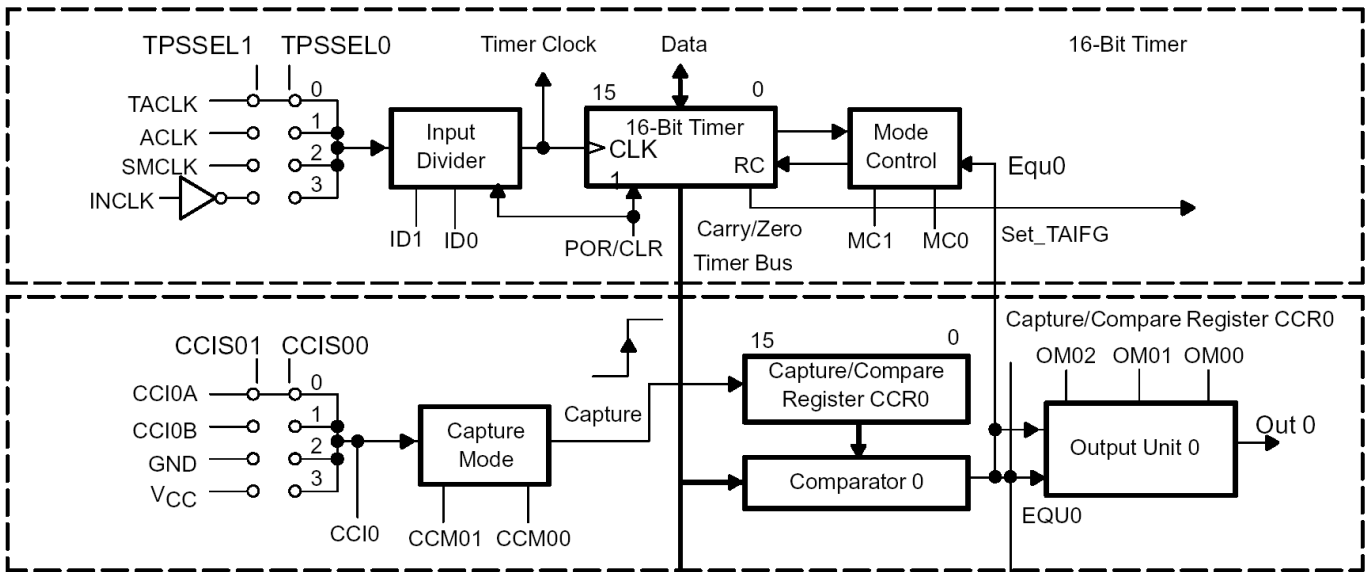
Pour une meilleure immunité au bruit, on peut réaliser un comparateur à hystérésis.

2. Réalisation de la fonction "démodulation FSK"

2.1 Production de la fréquence d'échantillonnage

La prise d'un échantillon, sa conversion et son traitement (fonctions F1 à F5) sont réalisés par un programme d'interruption. Celui-ci est activé régulièrement au double de la fréquence d'échantillonnage, soit 13600Hz.

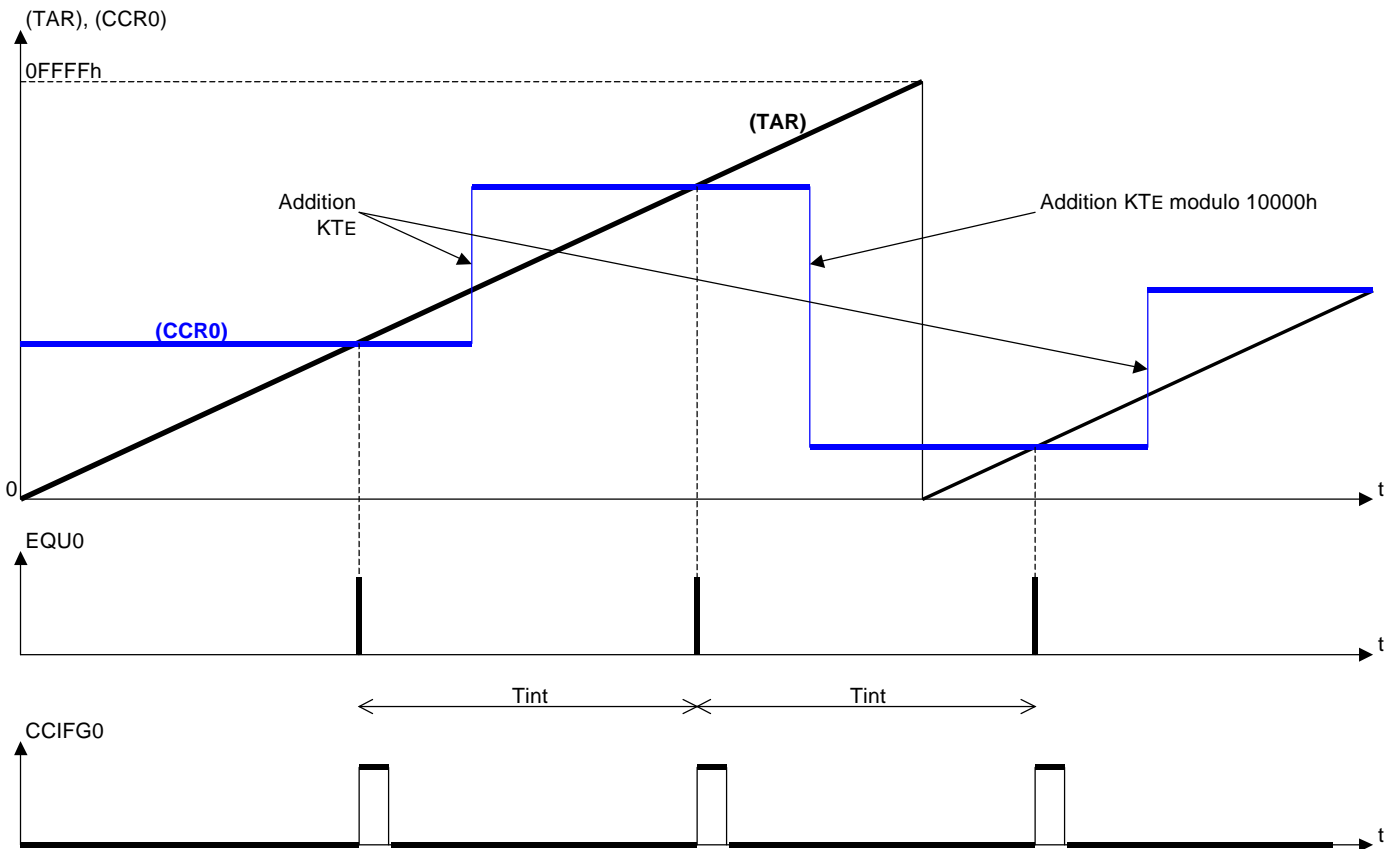
Le "Timer A" du microcontrôleur est configuré dans ce sens :



- Le multiplexeur de signaux d'horloge et le diviseur d'entrée sont configurés pour obtenir une fréquence d'horloge CLK du compteur TAR la plus élevée possible. Par exemple 4 MHz.
- Le compteur fonctionne en mode "continuous up"
- La fonction "Capture/Compare" est configurée en mode "Compare"
- EQU0 met à "1" l'indicateur d'interruption CCIFG0 du registre CCTL0
- L'indicateur CCIFG0 provoque une interruption.

Fonctionnement :

- Le compteur TAR s'incrémente à chaque période d'horloge modulo 10000h (16 bits)
- Le signal EQU0 passe à "1" quand l'état du compteur est égal au contenu du registre CCR0. L'impulsion sur EQU0 dure donc une période d'horloge CLK.
- L'activation de EQU0 provoque la mise à "1" de l'indicateur CCIFG et interrompt le programme en cours
- Le CPU du MSP430 exécute alors le programme d'interruption "TIM_A_Int"
- Avant de réaliser les fonctions F1 à F5 de la démodulation FSK, le programme d'interruption affecte d'abord le registre CCR0 pour que la prochaine interruption se produise après un délai d'une période d'échantillonnage T_E .

Chronogrammes typiques :

- (TAR) évolue normalement en marches d'escalier, mais l'échelle ne permet pas de les représenter
- EQU0 passe à "1" pendant une période d'horloge quand (TAR) = (CCR0)
- CCIFG0 est mis à "1" au même moment et provoque l'interruption du programme
- Le programme d'interruption "TIM_A_Int" est activé. Il remet automatiquement à "0" l'indicateur CCIFG0 et dure "un certain temps". Sa durée doit être inférieure à Tint.
- Au début de son déroulement, le programme "TIM_A_Int" lit le contenu du registre CCR0, lui ajoute la quantité KT_E sans se préoccuper de l'éventuel dépassement, et affecte (CCR0) avec le résultat. Pour atteindre le nouveau seuil (CCR0), le compteur doit augmenter de la valeur KT_E , donc compter autant de périodes d'horloge.

On en déduit : **$T_{int} = KT_E$ périodes d'horloge CLK**

Exemple : avec une horloge de 4 MHz il faut obtenir : $T_{int} = \frac{T_E}{2} = \frac{1}{2 \times F_E} = \frac{1}{2 \times 6800} = \frac{KT_E}{4E^6}$

Soit $KT_E = 294$

Éléments de programme associé :

Le programme proposé est adapté à un MSP430F1121 rythmé par une horloge de 4 MHz

Initialisations et boucle sans fin

Ne sont données ici que les lignes de programme associées à la fonction étudiée.

```

bis.b #XTS,&BCSCTL1      ;Validation XT1 hautes fréquences
bic  #OSCOFF,SR          ;Validation XT1 (par prudence)
Attend1 bic.b #OFIFG,&IFG1 ;Raz flag "Oscfault"
mov  #0FFFh,R15          ;
Attend2 dec R15           ; > Délai de stabilisation de l'oscillateur
      jnz Attend2        ; /
      bit.b #OFIFG,&IFG1 ;Test indicateur "Oscfault"
      jnz Attend1
mov.b #11001000b,&BCSCTL2 ;MCLK = SMCLK = XT1CLK

```

Thème 2003 – Démodulation FSK V23 avec MSP430

```

mov    #0120h,&TACTL      ;Timer A : ACLK, continuous up. Pas d'int TAIE

mov    #2010h,&CCCTL0     ;Output Capture avec interruption
mov    #294-1,&CCR0       ;Périodes int=4E6/294=13605Hz (env. 8x1700Hz)
*
. . .
. . .
eint   ;Validation des interruptions au niveau CPU

BOUCLE jmp    BOUCLE     ;Boucle sans fin. On attend l'interruption.
    
```

Début et fin du programme d'interruption "TIM_A_Int" :

```

TIM_A_Int  add #294-1,&CCR0      ;Périodes int=4E6/294=13605Hz (env 8x1700Hz)
. . .
. . .
reti
    
```

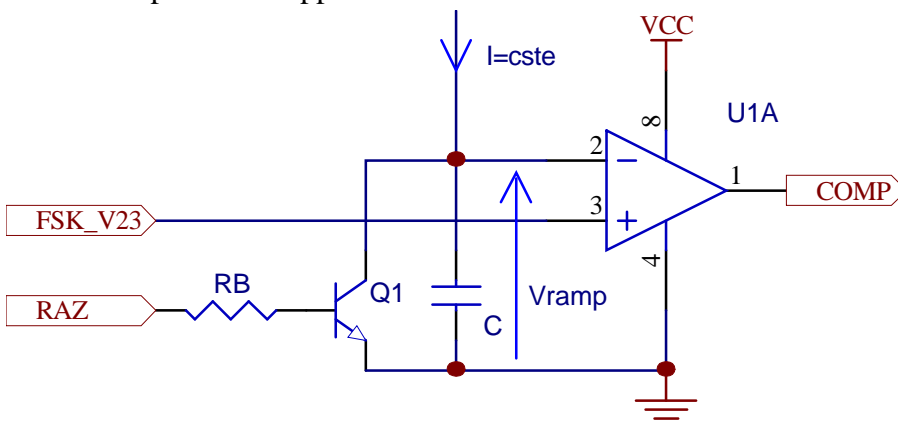
L'indicateur CCIFG0 est automatiquement mis à zéro à l'activation du programme d'interruption.

Vecteurs "Reset" et "Interruptions"

org 0ffe0h ;	Priorité
dw START ;	0 (la plus faible)
dw START ;	1
dw START ;I/O Port P1	2
dw START ;I/O Port P2	3
dw START ;	4
dw START ;	5
dw START ;	6
dw START ;	7
dw START ;Timer A3, CCIFG1, CCIFG2, TAIFG	8
dw TIM_A_Int ;Timer A3, CCIFG0	9
dw START ;Watchdog timer	10
dw START ;Comparateur A	11
dw START ;	12
dw START ;	13
dw START ;NMI	14
dw START ;POR, reset externe, watchdog	15 (la plus élevée)
end	

2.2 F1 : Conversion A → N

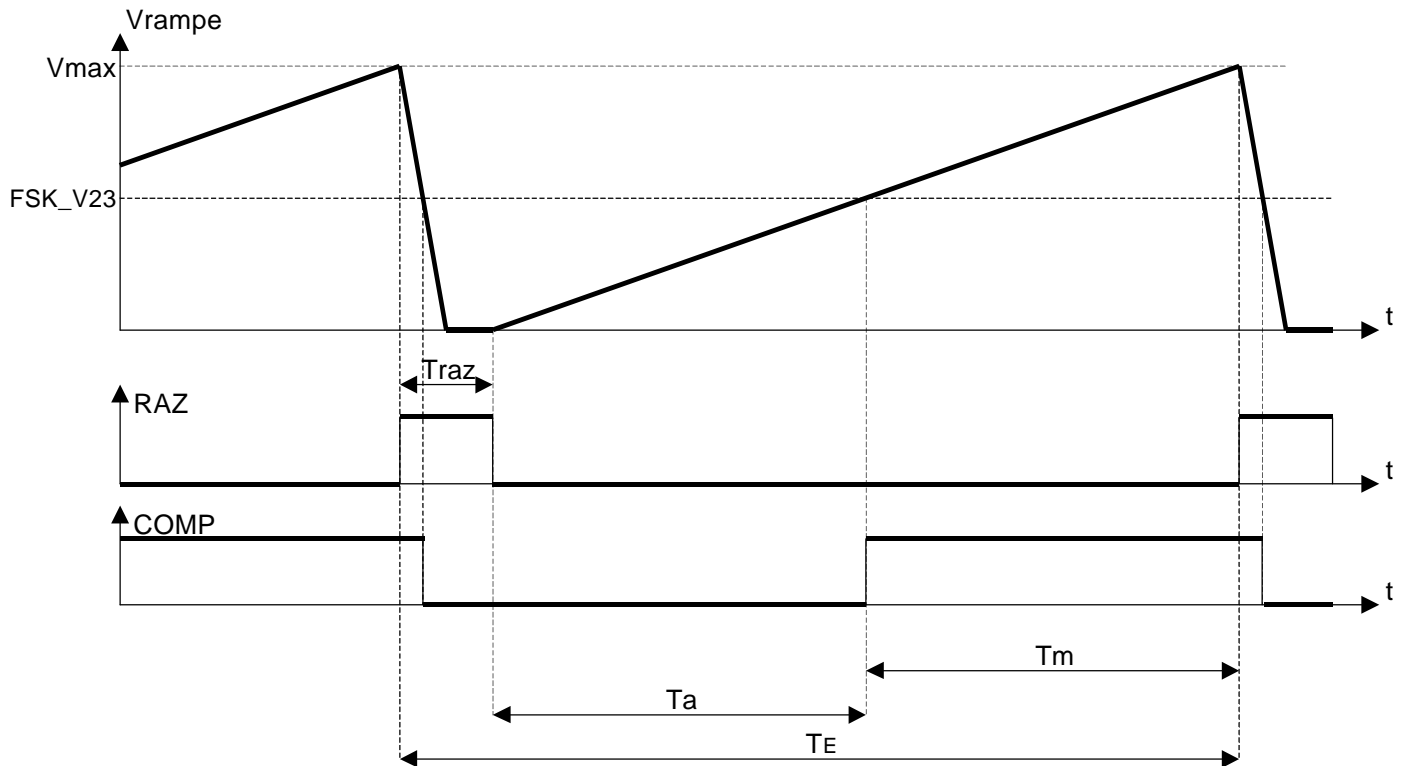
On utilise la technique du "simple rampe". La précision et la fidélité sont médiocres, mais largement suffisantes pour cette application.



Le signal analogique à convertir est FSK_V23.
Le condensateur C est chargé à courant constant quand Q1 est bloqué. Il en résulte une rampe de pente :

$$k = \frac{dV_{ramp}}{dt} = \frac{I}{C}$$

C est régulièrement déchargé par Q1.

Chronogrammes typiques :

- La conversion A → N commence par l'étape A → T (conversion "tension" → "durée") :

$$T_a = k \cdot \text{FSK_V23}$$

Elle est réalisée par la structure présentée au début de ce §.

- La deuxième étape T → N (conversion "durée" → "nombre") est réalisée par des structures du "Timer A" du microcontrôleur. En fait, celui-ci mesure la durée Tm. La durée Traz de la remise à zéro et la période TE sont parfaitement connues et constantes. La connaissance de Tm permet donc de facilement calculer $T_a = T_E - T_m - T_{\text{raz}}$.

Note : le MSP430 intègre un comparateur ("Comparateur A") qui peut être utilisé pour cette application ce qui réduit la quantité de composants externes.

Exploitation du "Timer A" :

Le § 2.1 décrit comment le "Timer A" est configuré pour produire des interruptions régulières au rythme de 13600 par seconde.

Le signal RAZ doit avoir une période $T_E = \frac{1}{F_E} = \frac{1}{6800}$. Il est donc produit toutes les 2 interruptions.

Le registre "CCR1" est utilisé en mode "Input Capture", activé par le flanc montant du signal COMP. Quand cet événement se produit, l'état correspondant du compteur TAR est mémorisé dans CCR1.

Conversion T → N :

La mesure de Tm est réalisée dans le programme d'interruption TIM_A_Int de la façon suivante :

- Le programme d'interruption est activé quand (TAR) atteint (CCR0) : voir § 2.1
 - Au début du programme d'interruption, et une fois sur 2 :
 - une paire d'instructions créent l'impulsion RAZ
 - le microcontrôleur affecte R7 avec (CCR1) – (CCR0)
- (CCR1) contient l'état du compteur TAR quand la rampe a atteint la tension FSK_V23 (↑ sur COMP). Cet événement s'est produit avant l'activation du programme d'interruption.
 (CCR0) contient l'état du compteur TAR à l'activation du programme d'interruption.
 La différence (CCR0) – (CCR1) représente donc la durée Tm en nombre de cycles d'horloge :

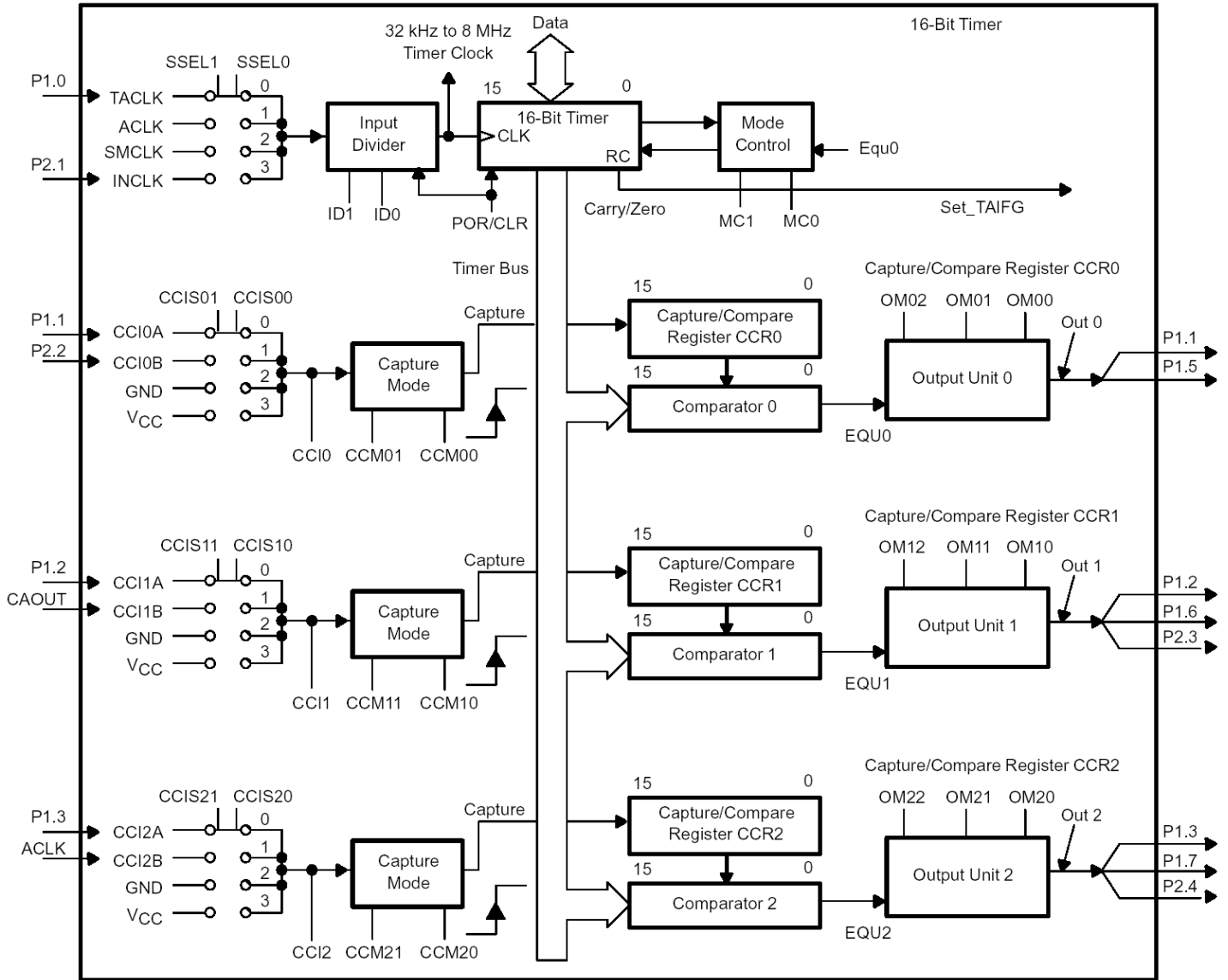
$$R7 = (-T_m) \cdot F_{CLK} \quad \text{avec } F_{CLK} = 4\text{MHz (par exemple)}$$

$$R7 = (T_a - T_E + T_{raz}) \cdot F_{CLK}$$

$$R7 = T_a \cdot F_{CLK} + Cste = FSK_V23 \cdot k \cdot F_{CLK} + Cste$$

Le calcul et la compensation de la constante "Cste" est inutile car le filtre passe-haut F2 qui suit élimine la composante continue de R7.

Timer A du MSP430F1121



Note : l'utilisation du registre CCR1 est dictée par le fait que la fonction "Input Capture" peut être activée par la sortie CAOUT du Comparateur A interne (voir schéma ci-dessus).

Éléments de programme associé :

Le programme proposé est adapté à un MSP430F1121 rythmé par une horloge de 4 MHz

Initialisations

Ne sont données ici que les lignes de programme associées à la fonction étudiée.

```

mov    #5900h,&CCTL1           ;Input Capture flanc montant CAOUT sans interruption

mov.b  #00001000b,CACTL1       ;Comparateur A "on". Pas de référence interne
*                                           ;CA0 = "+" et CA1 = "-"
mov.b  #00001100b,CACTL2       ;Pas de filtre. P2.3 = CA0 , P2.4 = CA1
mov.b  #00011000b,CAPD         ;Pour limiter la consommation
bis.b  #00011000b,P2SEL        ;P2.3 = CA0 , P2.4 = CA1
bis.b  #RAZ,&P2DIR             ;RAZ est une const. qui indique la pos. du bit RAZ
    
```

Début et fin du programme d'interruption "TIM_A_Int" :

```
TIM_A_Int  add #294-1,&CCR0           ;Périodes int=4E6/294=13605Hz (env 8x1700Hz)
           bit #INTERRUPT_TOGGLE,R13 ;Test de l'indicateur INTERRUPT_TOGGLE
           jz  FILTRE_F4

DO_ADC     bic #INTERRUPT_TOGGLE,R13 ;A la prochaine int. : filtrage numérique
           bis.b #RAZ,&P2OUT          ;P2.1 = RAZ = "1" -> reset rampe
           bic.b #RAZ,&P2OUT          ;P2.1 = RAZ = "0" -> libération rampe

           mov &CCR1,R7
           sub &CCR0,R7              ;Mesure de la durée de la rampe dans R7
           . . .                     ;Suivent ici les fonctions F2, F3 et F4
           . . .
           reti

FILTRE_F4  bis #INTERRUPT_TOGGLE,R13
           . . .                     ;Suivent ici les fonctions F5 et "réception
           . . .                     ;série asynchrone".
           reti
```

Note : l'indicateur "INTERRUPT_TOGGLE" mémorisé dans le registre R13 permet d'activer la fonction F1 (conversion A → N) qu'une interruption sur 2 (pour respecter $F_E = 6800$ Hz).

Important : le résultat de la conversion (registre R7) doit être suffisamment faible pour être converti sur 8 bits en C2. Ceci est imposé par la fonction "multiplication" F4 qui ne peut traiter que des nombres codés sur 8 bits.

2.3 F2 : Filtre passe-haut

Cette fonction nécessite la mise en mémoire de l'échantillon précédent pour produire $R7(z) \cdot Z^{-1}$. Le registre R10 du CPU est réservé pour cet usage.

Éléments de programme associé :

```
FONCTION_F2 mov R7,R6           ;R7 = R6 = échantillon actuel
           sub R10,R6           ;R10 = échantillon précédent : R6(z)=R7(z)-R7(z).Z-1
           mov R7,R10          ;Sauvegarde de l'échantillon actuel
```

2.4 F3 : Retard T_E

Cette fonction nécessite la mise en mémoire du contenu du registre R6 pour produire R6_T. La variable 16 bits "R6_T" est utilisée pour cet usage.

Éléments de programme associé :

```
FONCTION_F3 mov &R6_T,R7       ;R6_T dans R7 pour fonction F4 "multiplication"
           mov R6,&R6_T        ;Sauvegarde R6 actuel
```

2.5 F4 : Multiplication

Pour réduire le temps de calcul, le programme proposé réalise la multiplication des octets de poids faibles des registres R6 et R7. Le résultat sur 16 bits se retrouve dans le registre R9.

Toutes les variables sont codées en complément à 2.

Important : les valeurs de R6 et R6_T aux sorties des fonctions F2 et F3 doivent être suffisamment faibles pour être codées sur 8 bits et éviter ainsi les dépassements dans la multiplication.

Éléments de programme associé :

```

*****
* Multiplication 8bits x 8bits en C2 *
* R9 <- R6.b x R7.b *
*****
* Registres modifiés : R7, R8, R9
* Durée : 75 cycles environ
MULTIPLI_F4    and    #0ffh,R6      ;Conversion 16 bits -> 8 bits en C2
               and    #0ffh,R7      ;Conversion 16 bits -> 8 bits en C2
               clr    R8
               tst.b  R6
               jge    L$101
               swpb   R7
               sub    R7,R8
               swpb   R7
L$101          tst.b  R7
               jge    MACU8
               swpb   R6
               sub    R6,R8
               swpb   R6
MACU8          mov    #1,R9
L$002          bit    R9,R6
               jz     L$01
               add    R7,R8
L$01           rla    R7
               rla.b  R9
               jnc    L$002
               mov    R8,R9          ;Résultat de la multiplication dans R9

```

2.6 F5 : Filtre passe-bas

C'est la fonction la plus complexe du programme. Elle a été optimisée pour réduire le temps de calcul sans pour autant nuire aux performances.

Cette fonction nécessite la mise en mémoire FIFO des signaux R9, X et Y pour disposer de $R9(z) \cdot Z^{-1}$, $X(z) \cdot Z^{-2}$ et $Y(z) \cdot Z^{-2}$ (voir § 1.5). La variable WDF_PARAMS (5 mots de 16 bits) est utilisée pour cela :

- Adresse WDF_PARAMS : $R9(z) \cdot Z^{-1}$
- Adresse WDF_PARAMS + 2 : $Y(z) \cdot Z^{-1}$
- Adresse WDF_PARAMS + 4 : $Y(z) \cdot Z^{-2}$
- Adresse WDF_PARAMS + 6 : $X(z) \cdot Z^{-1}$
- Adresse WDF_PARAMS + 8 : $X(z) \cdot Z^{-2}$

Éléments de programme associé :

```

*****
* Fonction F4 : Filtre passe-bas *
*****
* - Type Butterworth d'ordre 5
* - Bande passante à -1dB : 1400Hz
* - Ondulations dans la bande passante : < 1dB
* - Bande coupée à -40dB : 2800Hz
* R9 = entrée (résultat de la fonction F4 multiplication)
* R11 = résultat du filtrage
* Durée : 113 cycles
FILTRE_F4      bis    #INTERRUPT_TOGGLE,R13
               mov    #WDF_PARAMS,R15
               mov    0(R15),R6      ;Echantillon précédent
               mov    R9,0(R15)      ;Mémorisation de l'échantillon actuel
               mov    8(R15),R7      ; |
               sub    R6,R7          ;/ R7 <- X(z-2) - E(z-1)
               mov    R7,R8          ; |
               rra    R8              ; |
               mov    R8,R6          ; |
               rra    R8              ; |
               rra    R8              ; > R6 <- [X(z-2) - E(z-1)]x(31/64)

```

Thème 2003 – Démodulation FSK V23 avec MSP430

```
rra R8          ; |
rra R8          ; |
rra R8          ; |
sub R8,R6       ;/
sub 8(R15),R6   ;R6 = X <- [X(z-2) - E(z-1)]x(31/64) - X(z-2)
                ;          = -(31/64).E(z-1) - (33/64).X(z-2)
mov 6(R15),8(R15) ;Mémorisation de X(z-1)
mov R6,6(R15)   ;Mémorisation de X
sub R7,R6       ;R6 <- X - [X(z-2) - E(z-1)]

mov 4(R15),R7   ; |
sub R9,R7       ;/ R7 <- Y(z-2) - E
mov R7,R8       ; |
rra R8          ; |
rra R8          ; |
rra R8          ; |
mov R8,R9       ; > R9 <- [Y(z-2) - E]x(7/64)
rra R8          ; |
rra R8          ; |
rra R8          ; |
sub R8,R9       ;/
add 4(R15),R9   ;R9 <- [Y(z-2) - E]x(7/64) + Y(z-2)
                ;          = -(7/64).E + (71/64).Y(z-2)
sub R9,R7       ;R7 = Y <- Y(z-2) - E + (7/64).E - (71/64).Y(z-2)
                ;          = -(57/64).E - (7/64).Y(z-2)
mov 2(R15),4(R15) ;Mémorisation de Y(z-1)
mov R7,2(R15)   ;Mémorisation de Y

sub R9,R6       ;Résultat final
mov R6,R11      ;R11 utilisé par la fonction "réception série
                ;asynchrone"
```